

OMARSAT 2019

IEAPM

Arraial do Cabo (RJ)

01 - 04 outubro 2019

ANÁLISE DAS TENDÊNCIAS E VARIABILIDADES DO NÍVEL DO MAR MEDIDO POR ALTIMETRIA DE SATÉLITE NO ATLÂNTICO SUL

**Joseph Harari¹, Samuel Hora Yang², Jeferson Barbosa Sousa³ & Tiago
Cortez¹**

*1: Universidade de São Paulo – Instituto Oceanográfico
Praça do Oceanográfico, 191 – Butantã – São Paulo (SP) – CEP: 05508-120
joharari@usp.br ; tiagocortez@usp.br*

*2: Universidade de São Paulo – Instituto de Energia e Ambiente
Avenida Professor Luciano Gualberto, 1289 – Butantã – São Paulo (SP) – CEP:
05508-010
samyang@usp.br*

*3: Universidade de São Paulo – Instituto de Matemática e Estatística
Rua do Matão, 1010 – Butantã – São Paulo (SP) – CEP: 05508-090
jeferson.sousa@usp.br*

ANÁLISE DE SÉRIES TEMPORAIS

ATLÂNTICO SUL

5° S – 55° S, 70° W – 25° E

ALTIMETRIA DE SATÉLITE

ADT – ABSOLUTE DYNAMIC TOPOGRAPHY

TOPOGRAFIA DINÂMICA ABSOLUTA

AVISO ALTIMETRY

MODELAGEM / MEDIÇÕES (SATÉLITES E BOIAS)

SST – SEA SURFACE TEMPERATURE

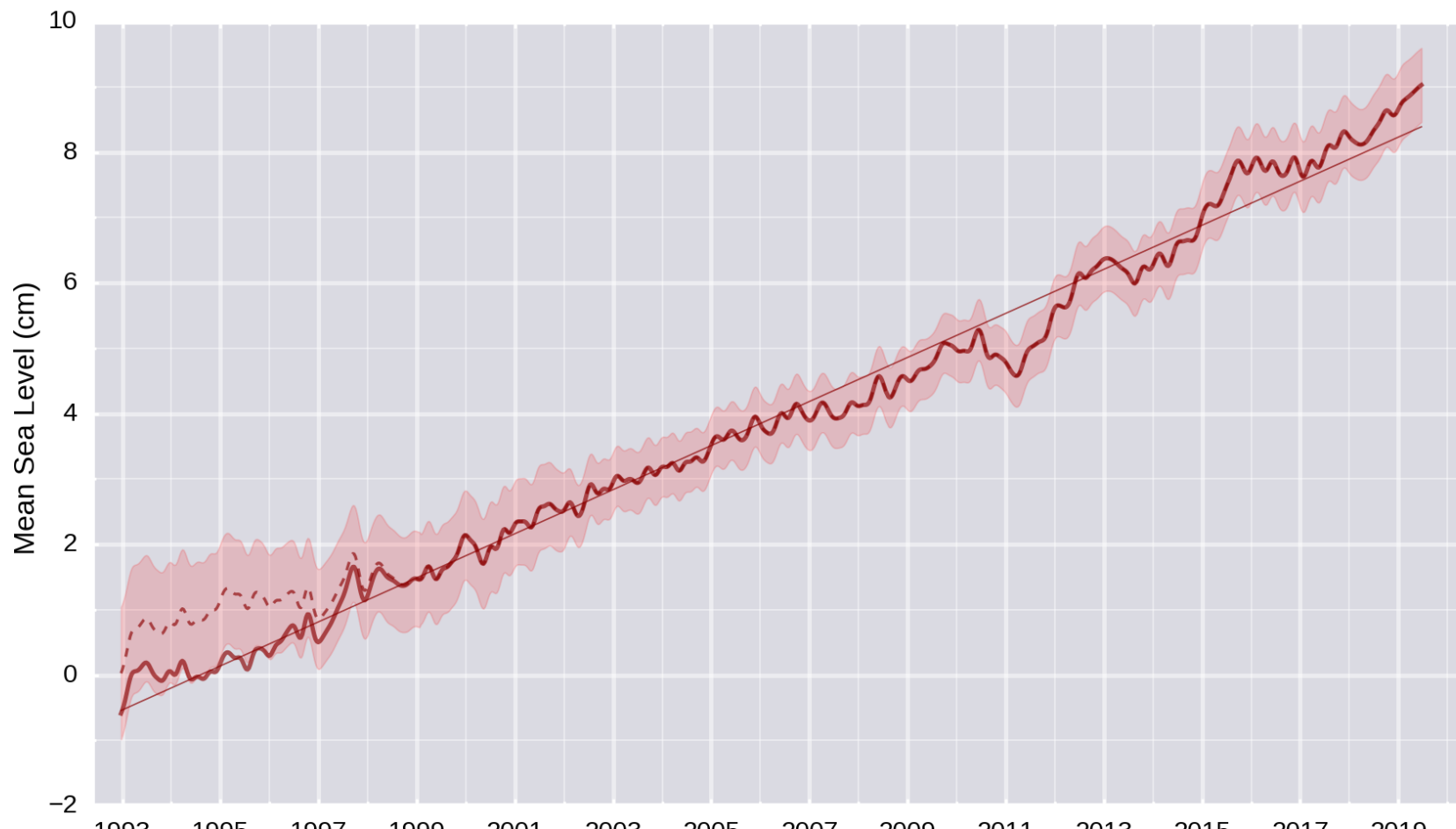
TEMPERATURA DA SUPERFÍCIE DO MAR

NOAA OI SST V2 High Resolution Dataset

Latest MSL Measurement
05 July. 2019

+3.37 mm/yr

Reference GMSL - corrected for GIA

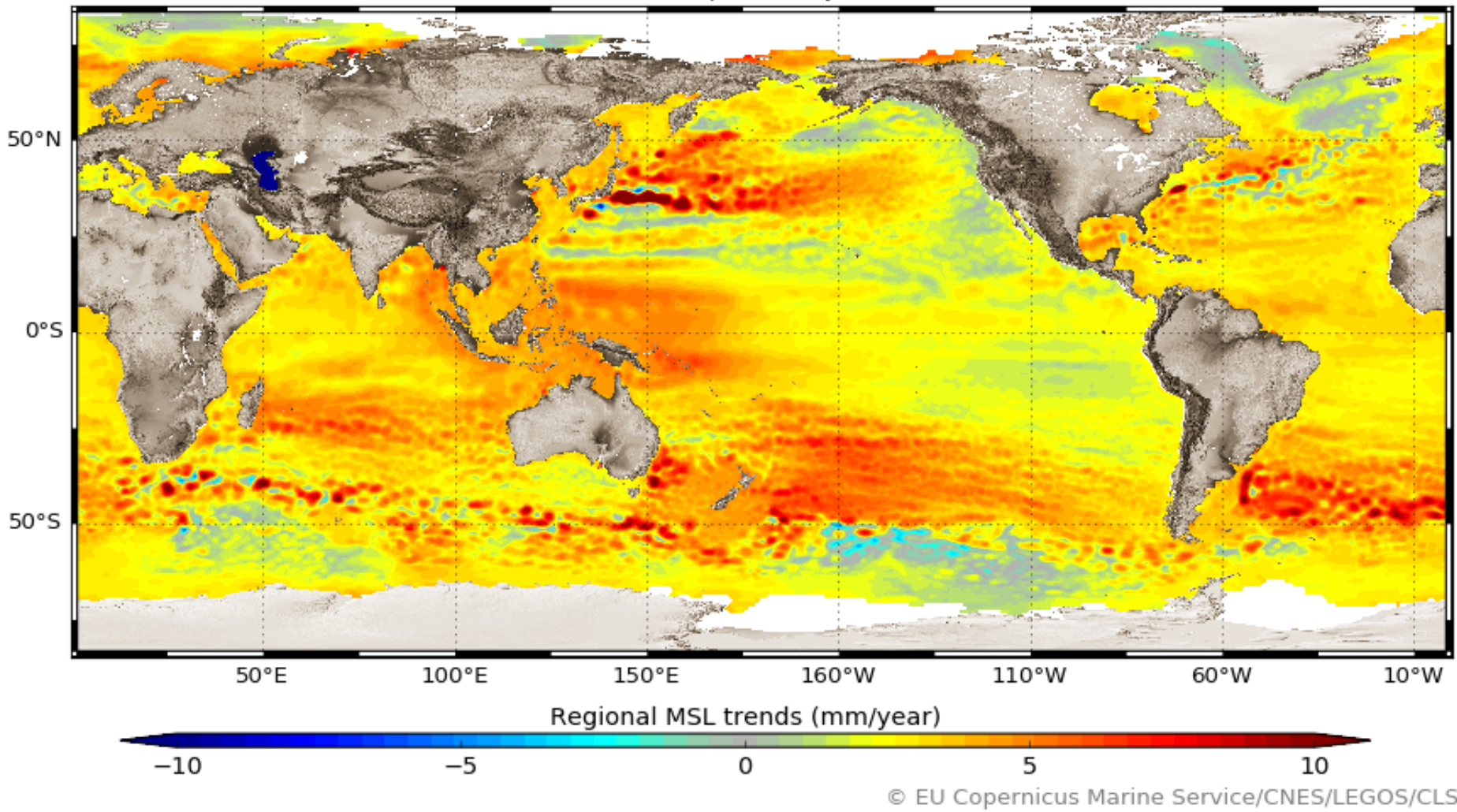


© CNES,LEGOS,CLS

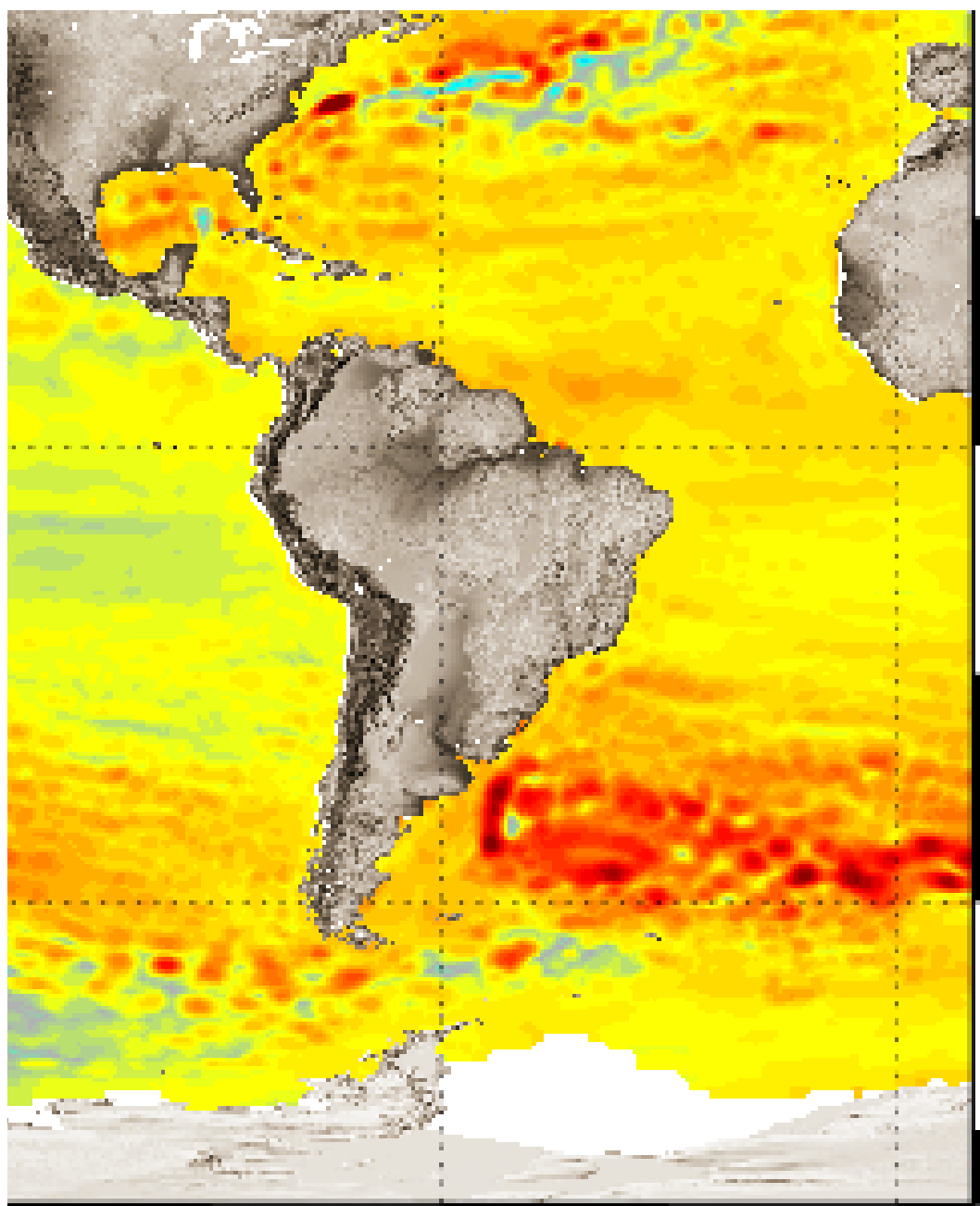
**AVISO ALTIMETRY – GLOBAL MEAN SEA LEVEL,
3.37 mm/year = 0.37 m / century**

Multi-Mission Sea Level Trends

Period: Sep-1992 to Jan-2019



© EU Copernicus Marine Service/CNES/LEGOS/CLS,

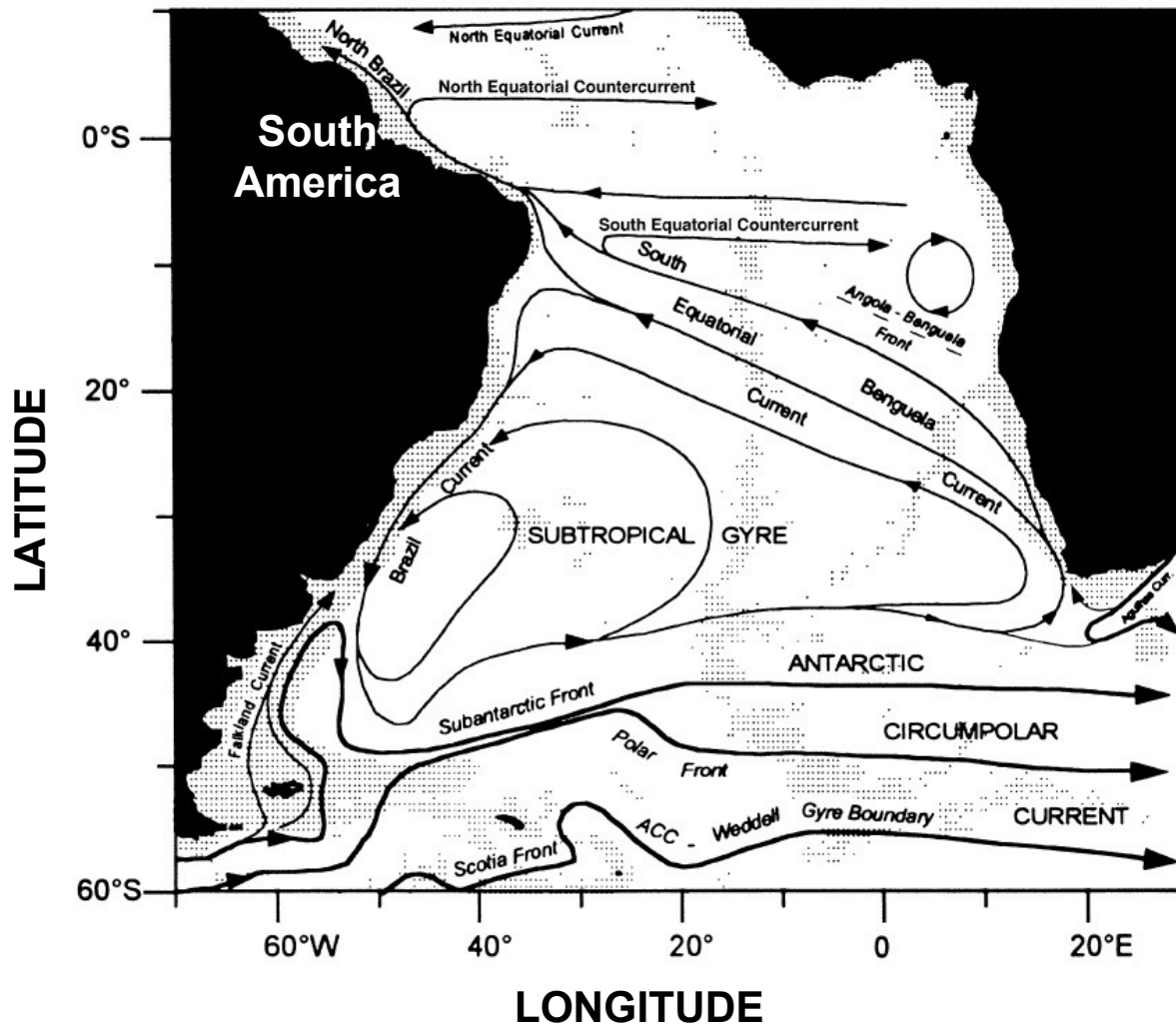


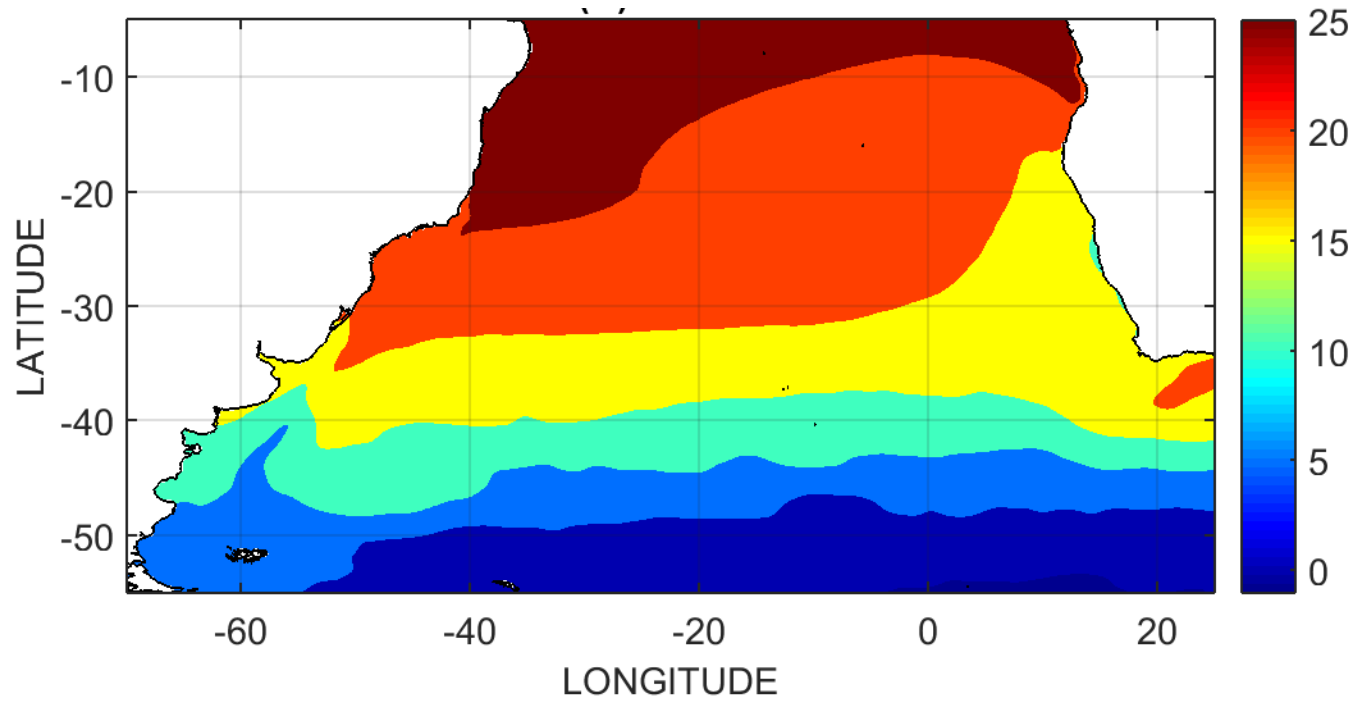
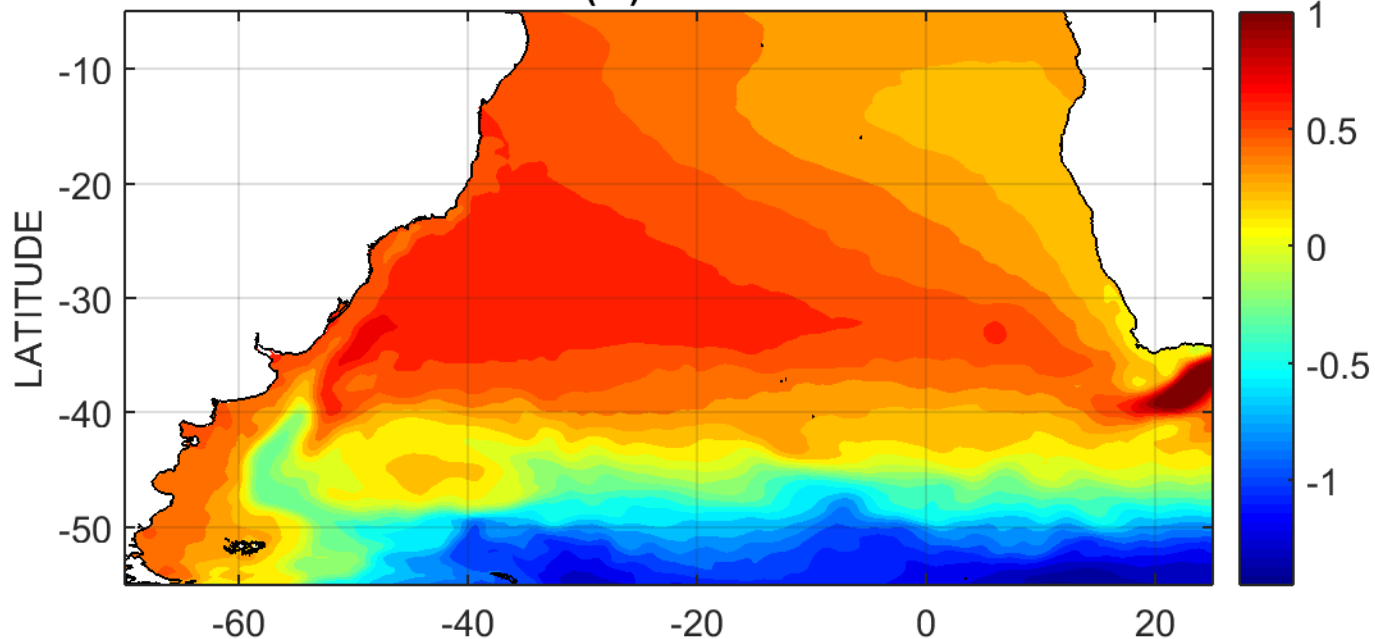
'W

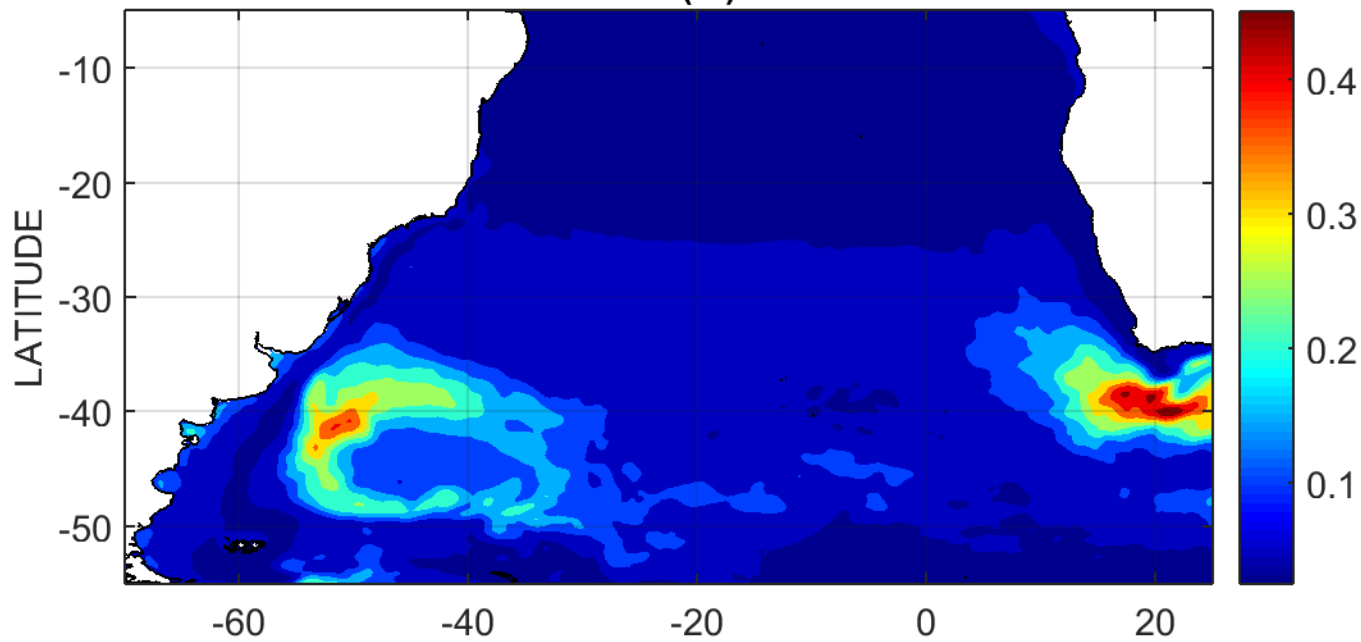
60°W

10°W

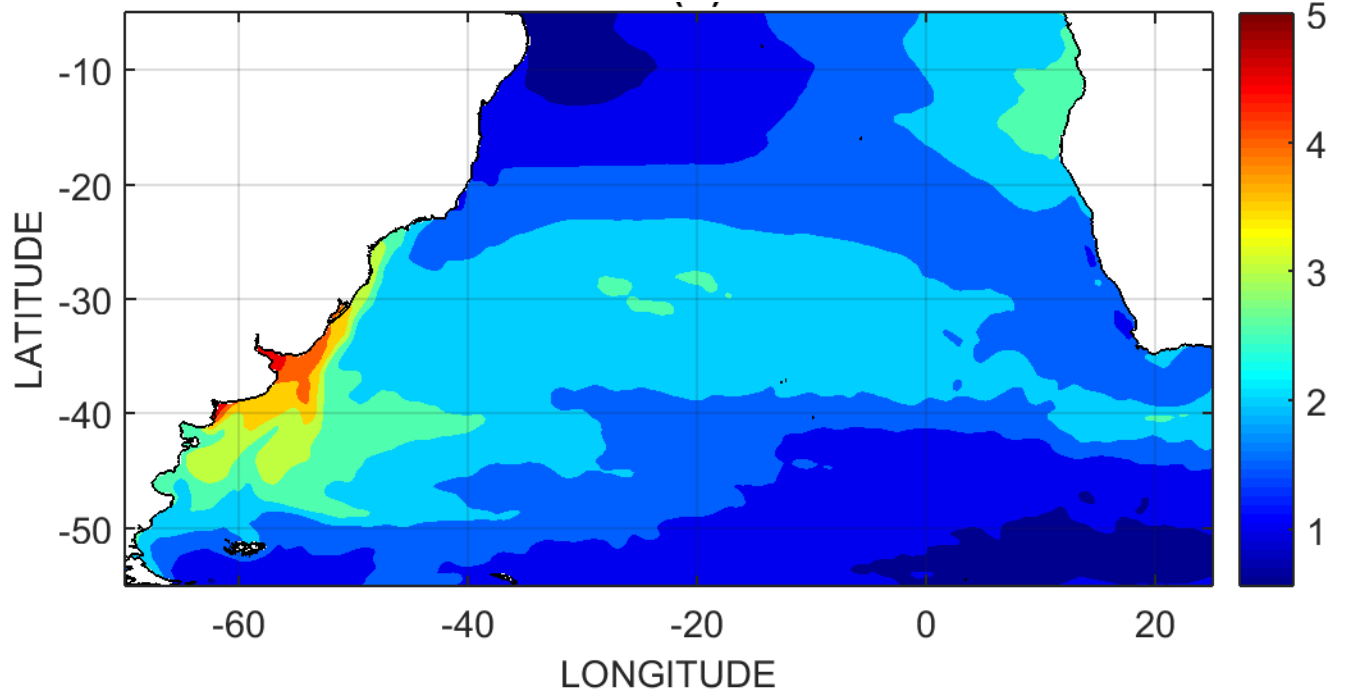
SOUT ATLANTIC MEAN CIRCULATION







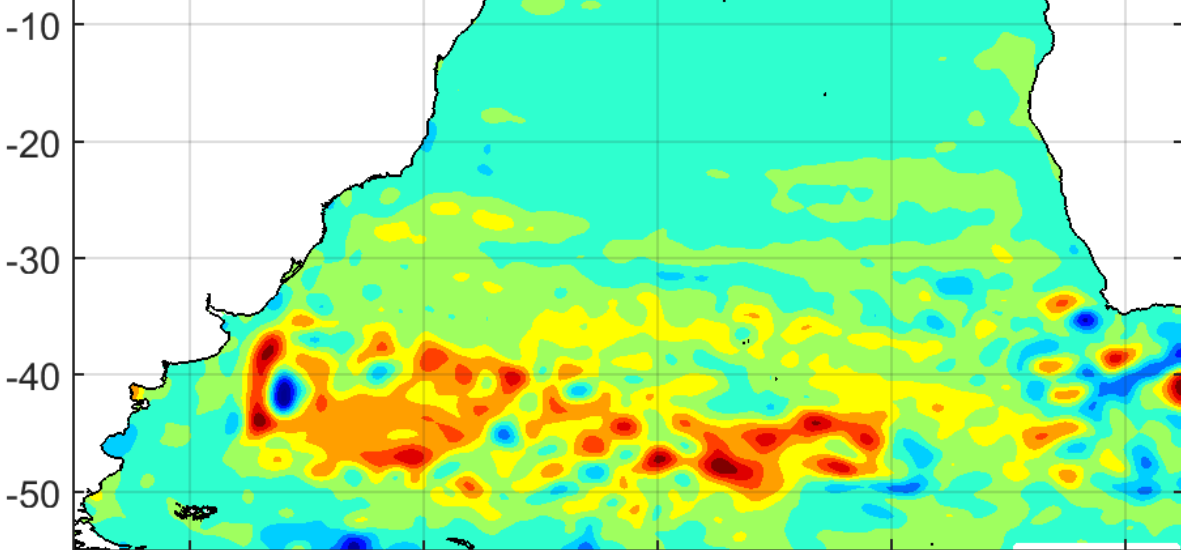
ADT:
DESVIO
PADRÃO
(m)



SST:
DESVIO
PADRÃO
(C)

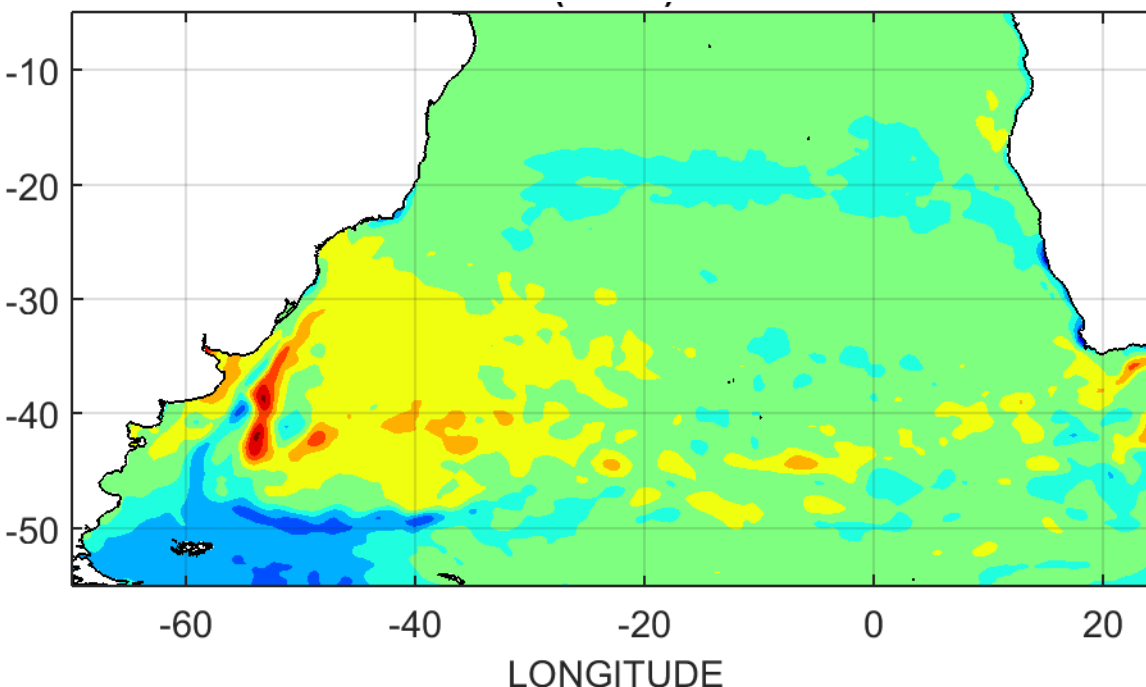
ADT - TENDÊNCIA LINEAR (m/sec) Entrada

LATITUDE



ADT:
TENDÊNCIA
LINEAR
(m/século)

LATITUDE

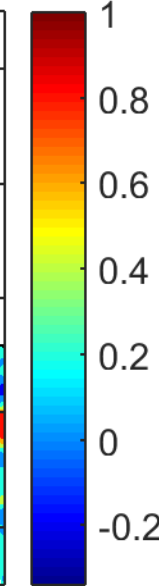
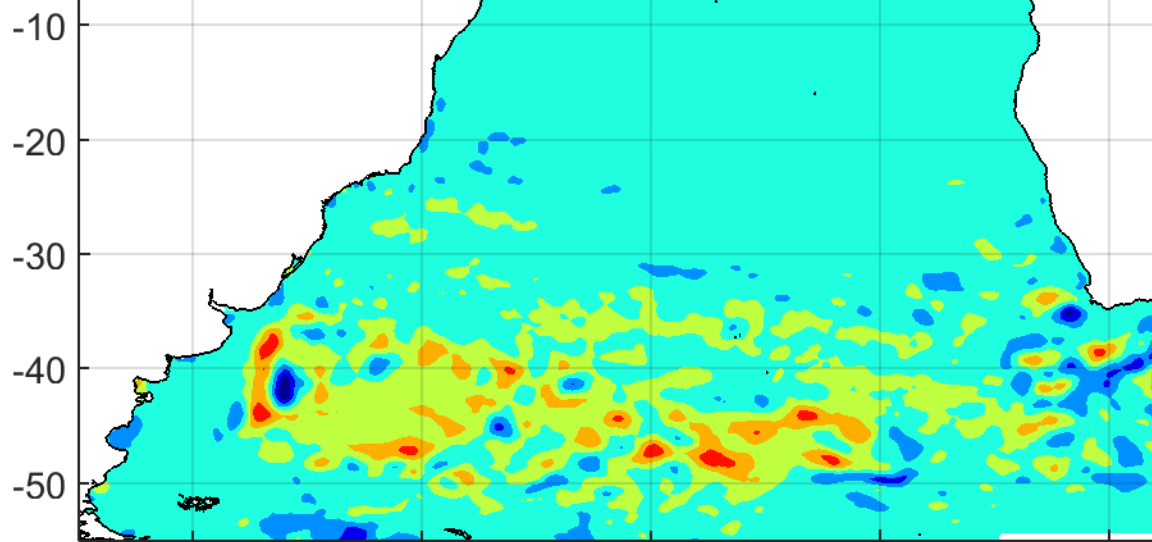


SST:
TENDÊNCIA
LINEAR
(C/século)

LONGITUDE

ADT - TEND LINEAR (m/sec) original

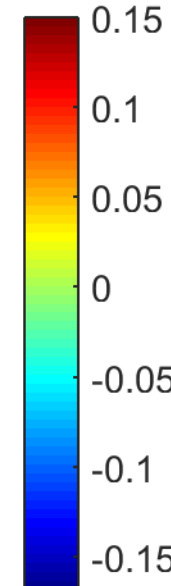
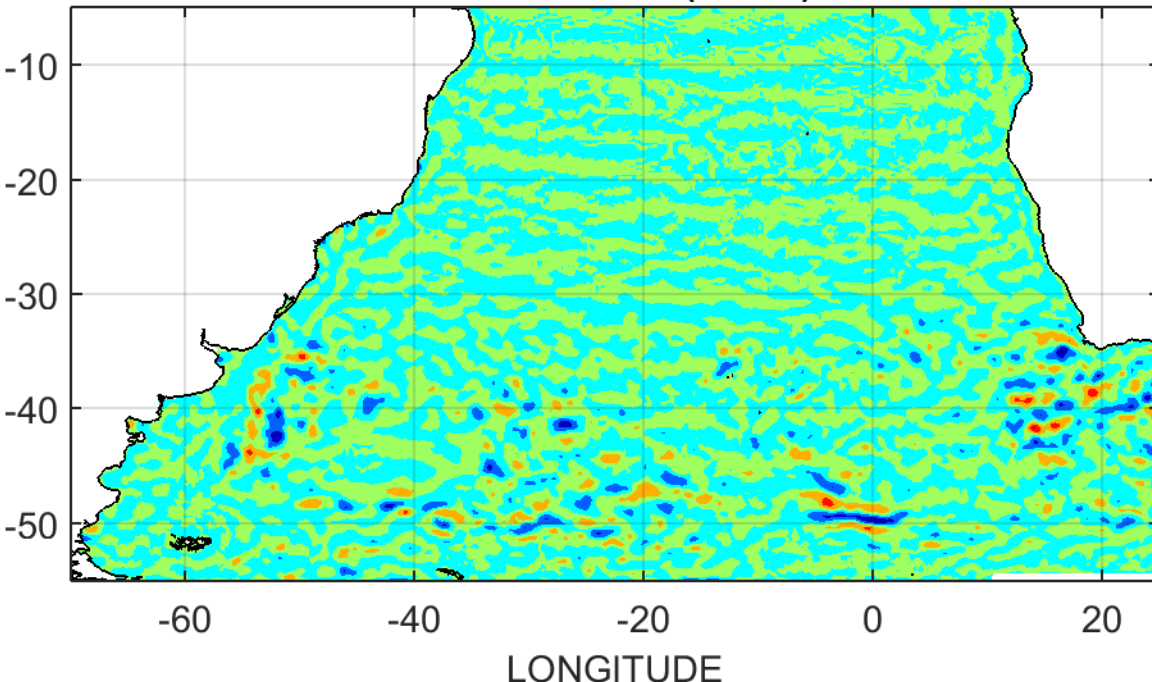
LATITUDE



**ADT:
TENDÊNCIA
ORIGINAL,
SEM
FILTRAGEM
NO
ESPAÇO**

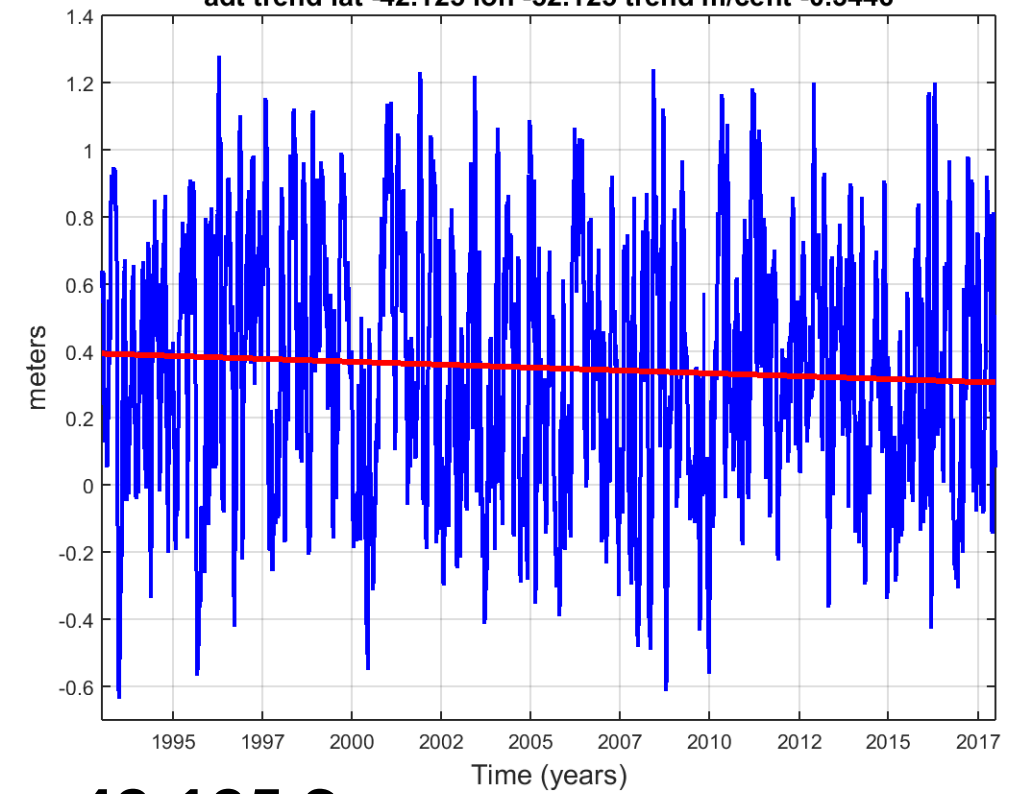
ADT - TEND LINEAR (m/sec) ori-fil

LATITUDE



**DIFERENÇAS
DAS
TENDÊNCIAS
(ORIGINAL
MENOS
Filtrada)**

adt trend lat -42.125 lon -52.125 trend m/cent -0.3446



42.125 S

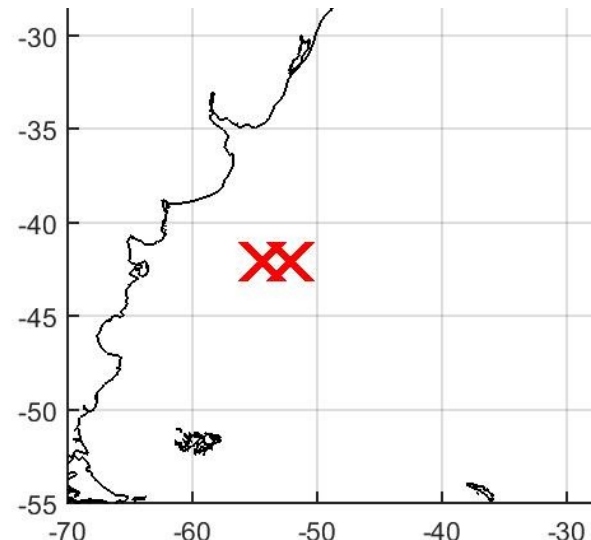
52.125 W

-0.3446 m/século

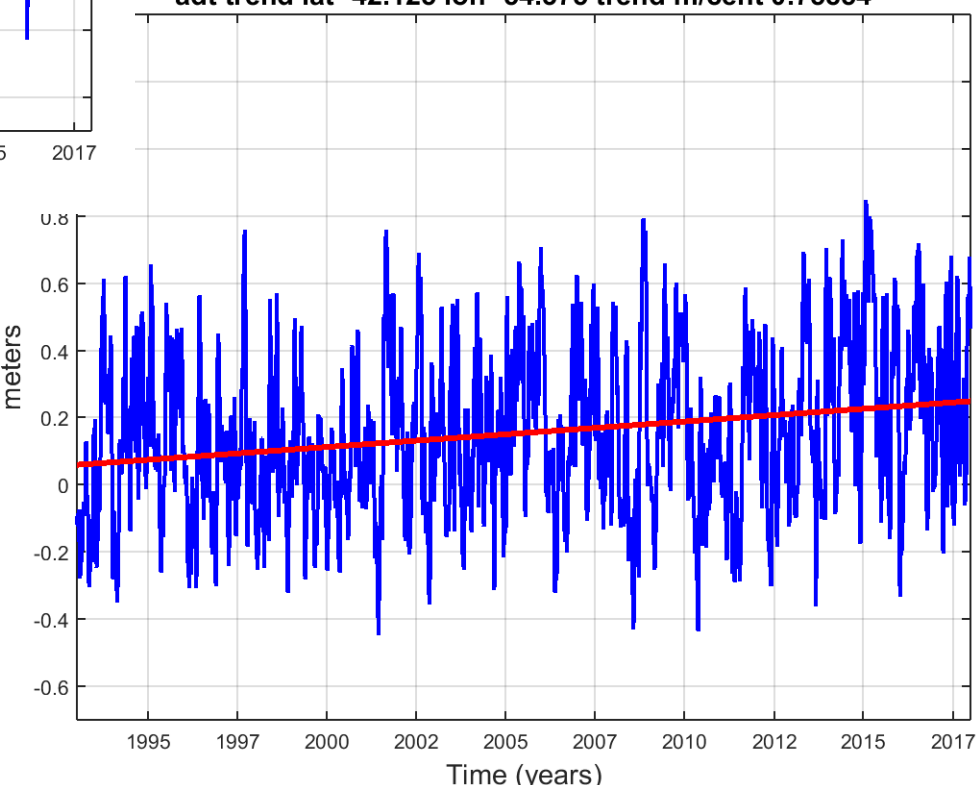
42.125 S

54.375 W

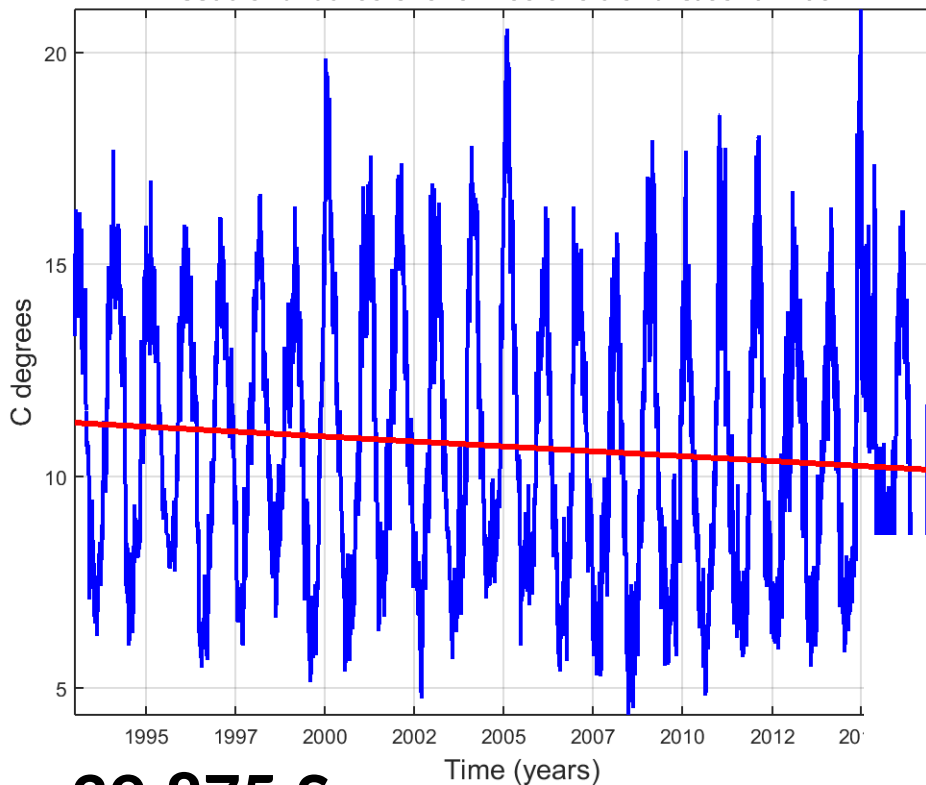
+0.75854 m/século



adt trend lat -42.125 lon -54.375 trend m/cent 0.75854



sst trend lat -39.875 lon -55.375 trend C/cent -4.6324



39.875 S

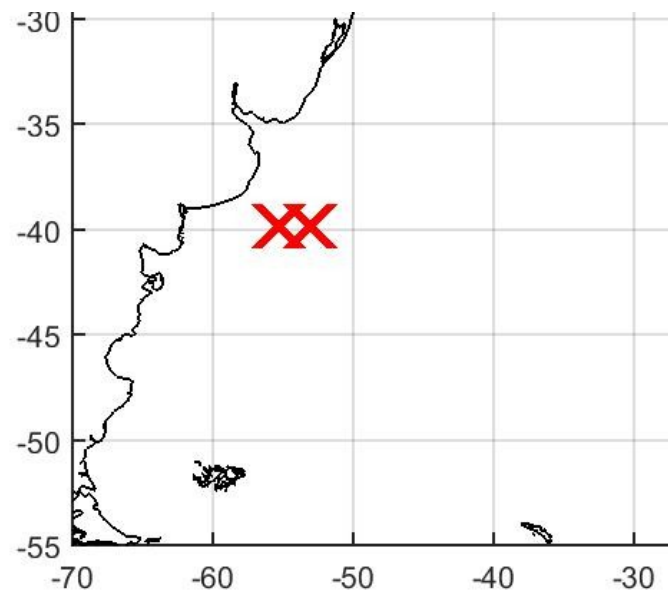
55.375 W

-4.6324 C/século

39.875 S

53.125 W

+7.677 C/século



sst trend lat -39.875 lon -53.125 trend C/cent 7.677

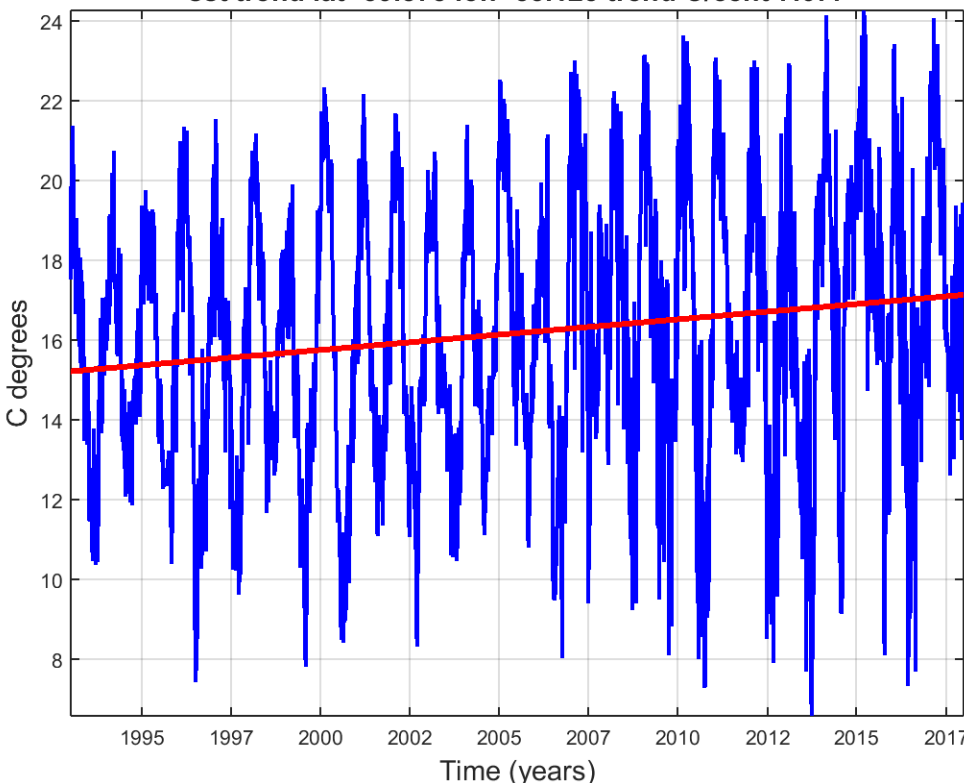


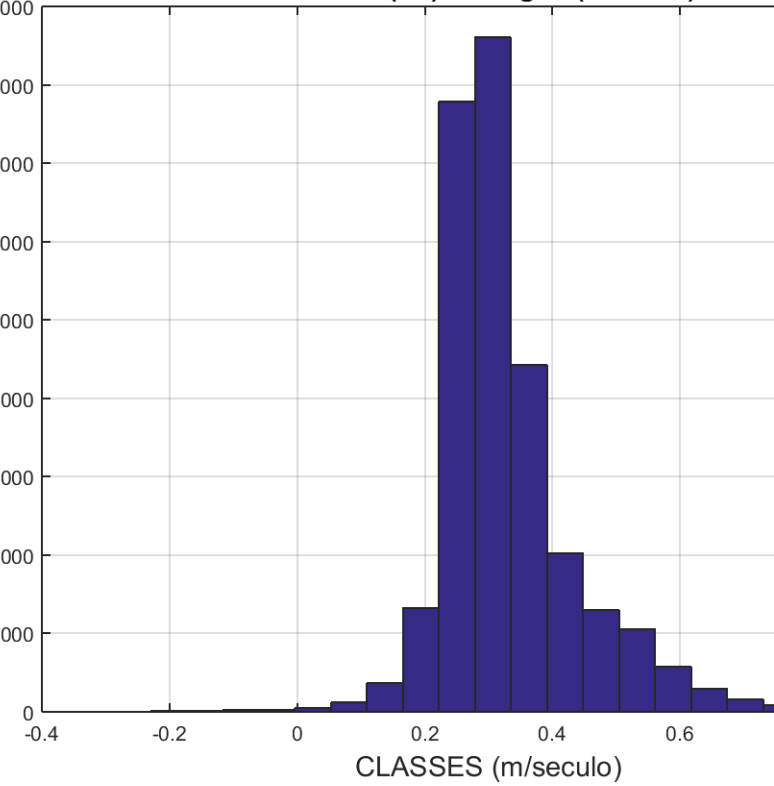
Table 1 - Basic statistic parameters of sea level time series at the points of minimum and maximum trends near the Brazil - Malvinas Confluence (minimum, maximum, mean, median, standard deviation, kurtosis, asymmetry and linear trend).

| Lat. (°S) | Lon. (°W) | Min. (m) | Max. (m) | Mean (m) | Median (m) | Std. (m) | Kurt. (-) | Asym. (-) | Trend (m/cent.) |
|--------------|--------------|-------------|-------------|-------------|---------------|-------------|--------------|--------------|--------------------|
| 42.125 | 52.125 | -0.64 | 1.28 | 0.35 | 0.34 | 0.37 | 2.26 | 0.04 | - 0.34 |
| 42.125 | 54.375 | -0.45 | 0.85 | 0.15 | 0.13 | 0.24 | 2.46 | 0.26 | + 0.76 |

Table 2 - Basic statistic parameters of sea surface temperature time series at the points of minimum and maximum trends near the Brazil - Malvinas Confluence (minimum, maximum, mean, median, standard deviation, kurtosis, asymmetry and linear trend).

| Lat. (°S) | Lon. (°W) | Min. (C) | Max. (C) | Mean (C) | Median (C) | Std. (C) | Kurt. (-) | Asym. (-) | Trend (C/cent.) |
|--------------|--------------|-------------|-------------|-------------|---------------|-------------|--------------|--------------|--------------------|
| 39.875 | 55.375 | 4.37 | 21.02 | 10.68 | 10.21 | 3.30 | 2.11 | 0.34 | - 4.62 |
| 39.875 | 53.125 | 6.57 | 24.27 | 16.17 | 16.18 | 3.37 | 2.35 | -0.11 | + 7.68 |

NUMERO DE OCORRENCIAS



HISTOGRAMA TENDÊNCIA ADT NA REGIÃO DE ESTUDO CLASSES (m/século)

NUMERO DE OCORRENCIAS

HISTOGRAMA TENDÊNCIA SST NA REGIÃO DE ESTUDO CLASSES (C/século)

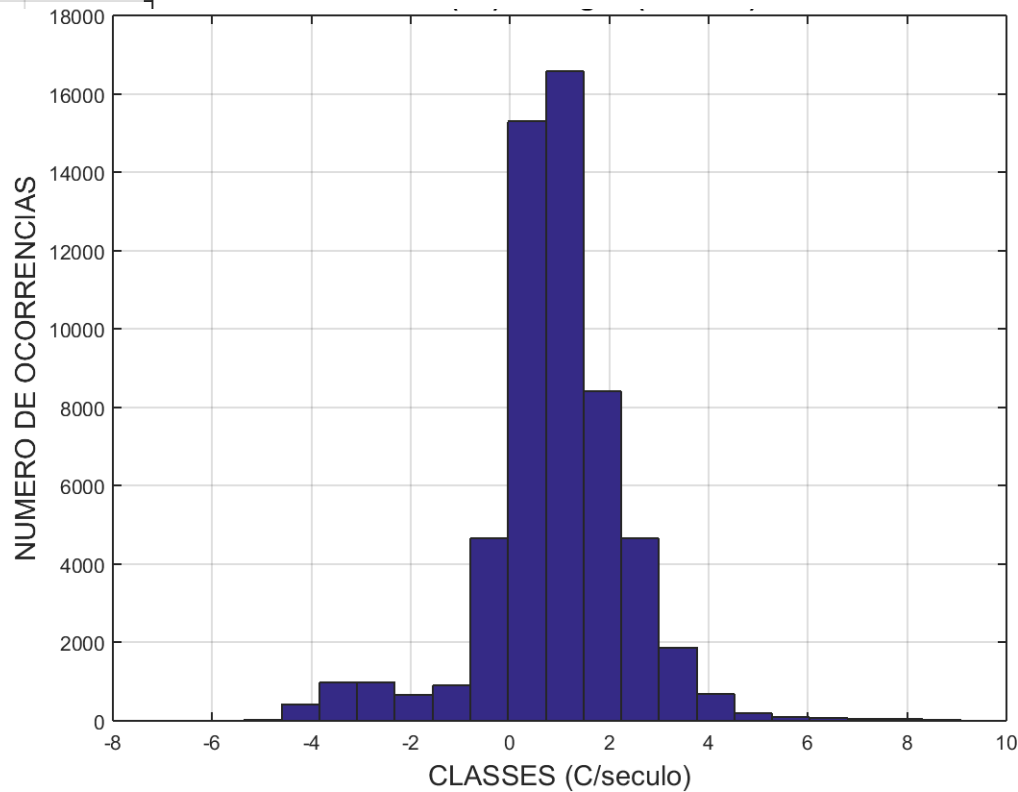
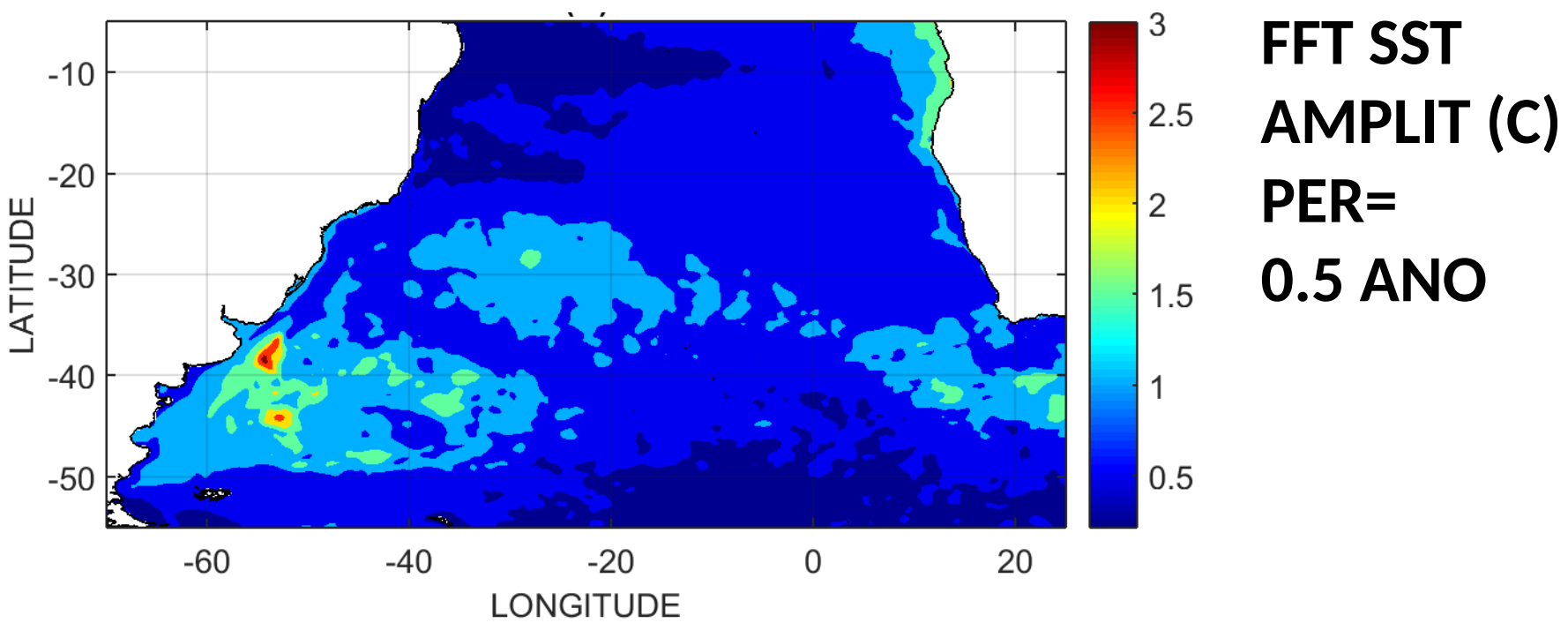
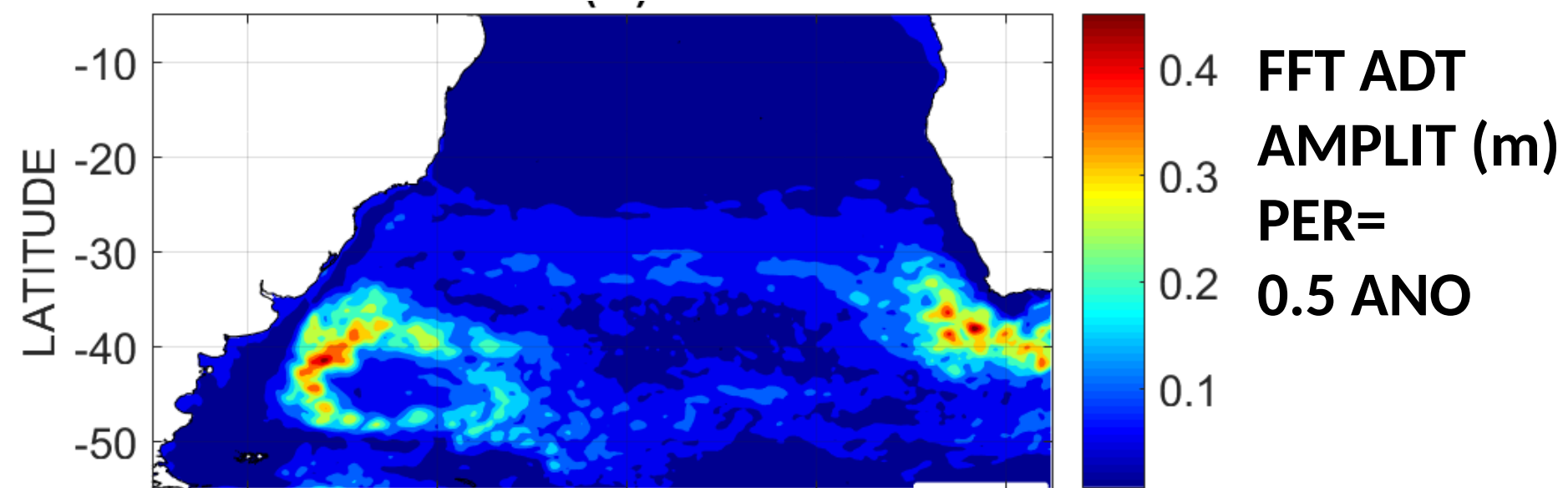
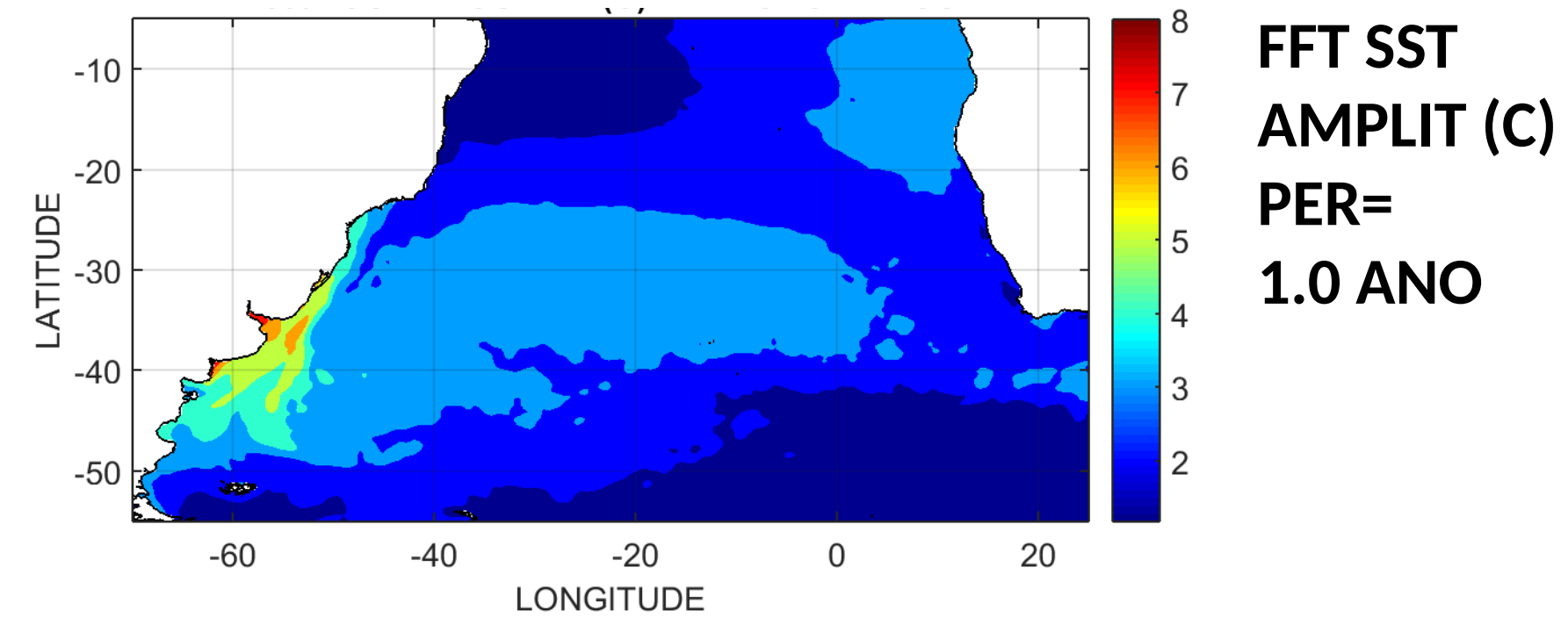
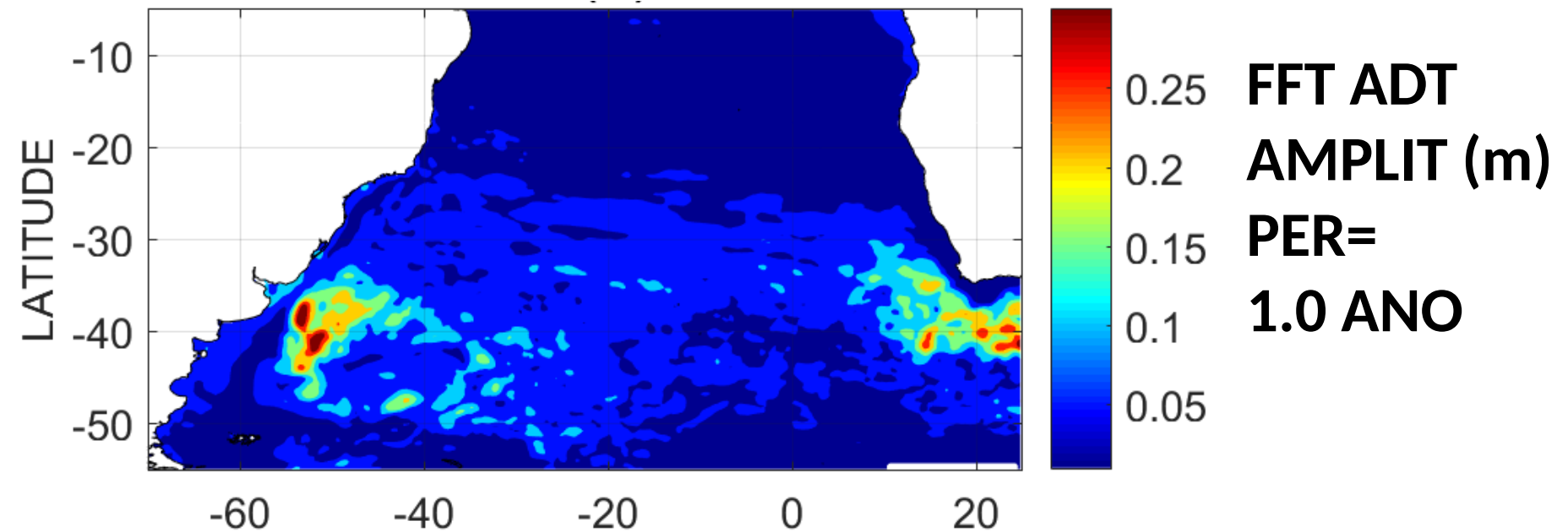


Table 2 – Histogram of sea level, temperature linear trend
 (classes in m/century, C/century x % of occurrences x cumulative %).

| Trend (m/century) | Percent (%) | Cumulative Percent (%) |
|----------------------|-------------|---------------------------|
| -0.2017 | 0.02 | 0.02 |
| -0.1452 | 0.04 | 0.06 |
| -0.0887 | 0.07 | 0.13 |
| -0.0322 | 0.08 | 0.21 |
| 0.0243 | 0.19 | 0.40 |
| 0.0808 | 0.43 | 0.83 |
| 0.1373 | 1.31 | 2.14 |
| 0.1938 | 4.66 | 6.80 |
| 0.2503 | 27.51 | 34.31 |
| 0.3068 | 30.38 | 64.69 |
| 0.3633 | 15.62 | 80.31 |
| 0.4198 | 7.16 | 87.47 |
| 0.4763 | 4.60 | 92.07 |
| 0.5328 | 3.74 | 95.80 |
| 0.5893 | 2.05 | 97.86 |
| 0.6458 | 1.05 | 98.90 |
| 0.7023 | 0.57 | 99.48 |
| 0.7588 | 0.29 | 99.77 |
| 0.8153 | 0.17 | 99.94 |
| 0.8718 | 0.06 | 100 |

| Trend (C/century) | P Percent (%) | Cumulative Percent (%) |
|----------------------|------------------|---------------------------|
| -5.7790 | 0.05 | 0.05 |
| -5.0170 | 0.15 | 0.20 |
| -4.2550 | 0.79 | 0.99 |
| -3.4930 | 2.00 | 2.98 |
| -2.7310 | 2.34 | 5.32 |
| -1.9690 | 3.16 | 8.49 |
| -1.2070 | 3.97 | 12.45 |
| -0.4450 | 9.95 | 22.40 |
| 0.3170 | 25.20 | 47.60 |
| 1.0790 | 27.72 | 75.32 |
| 1.8410 | 13.71 | 89.03 |
| 2.6030 | 6.66 | 95.69 |
| 3.3650 | 2.65 | 98.34 |
| 4.1270 | 0.99 | 99.32 |
| 4.8890 | 0.28 | 99.60 |
| 5.6510 | 0.14 | 99.74 |
| 6.4130 | 0.10 | 99.84 |
| 7.1750 | 0.06 | 99.91 |
| 7.9370 | 0.05 | 99.96 |
| 8.6990 | 0.04 | 100.00 |





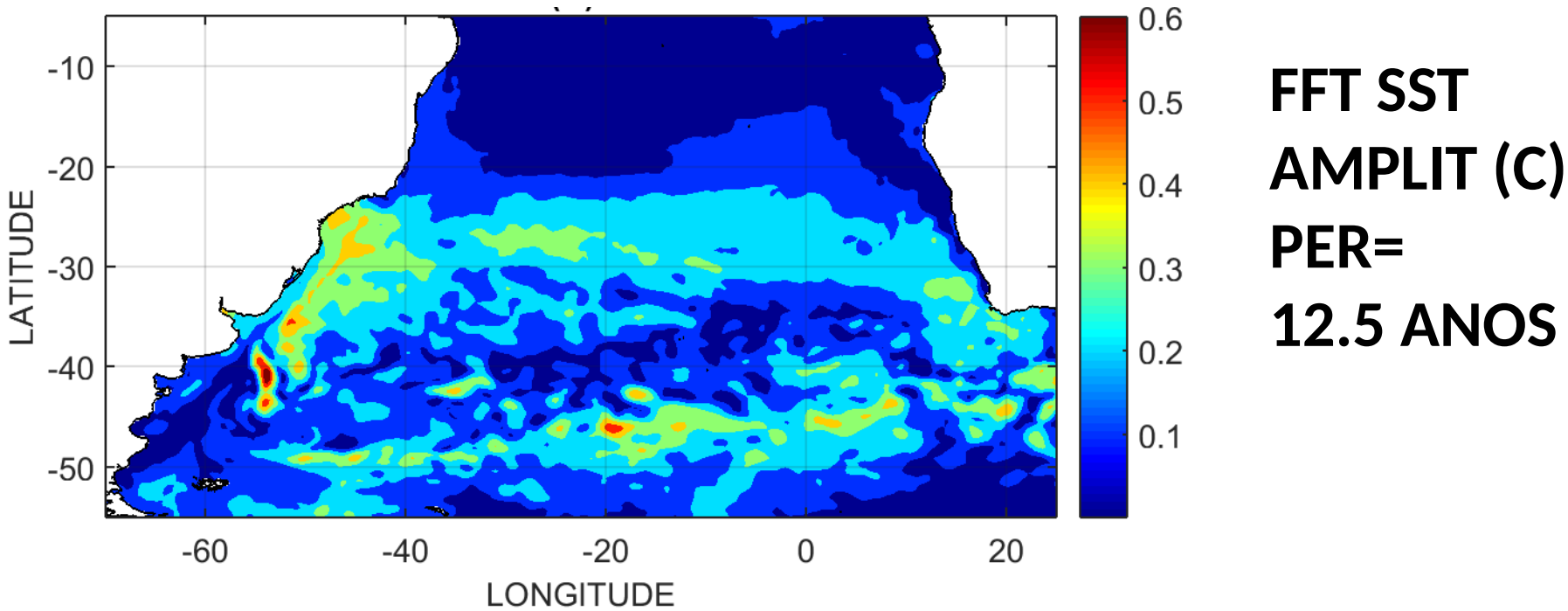
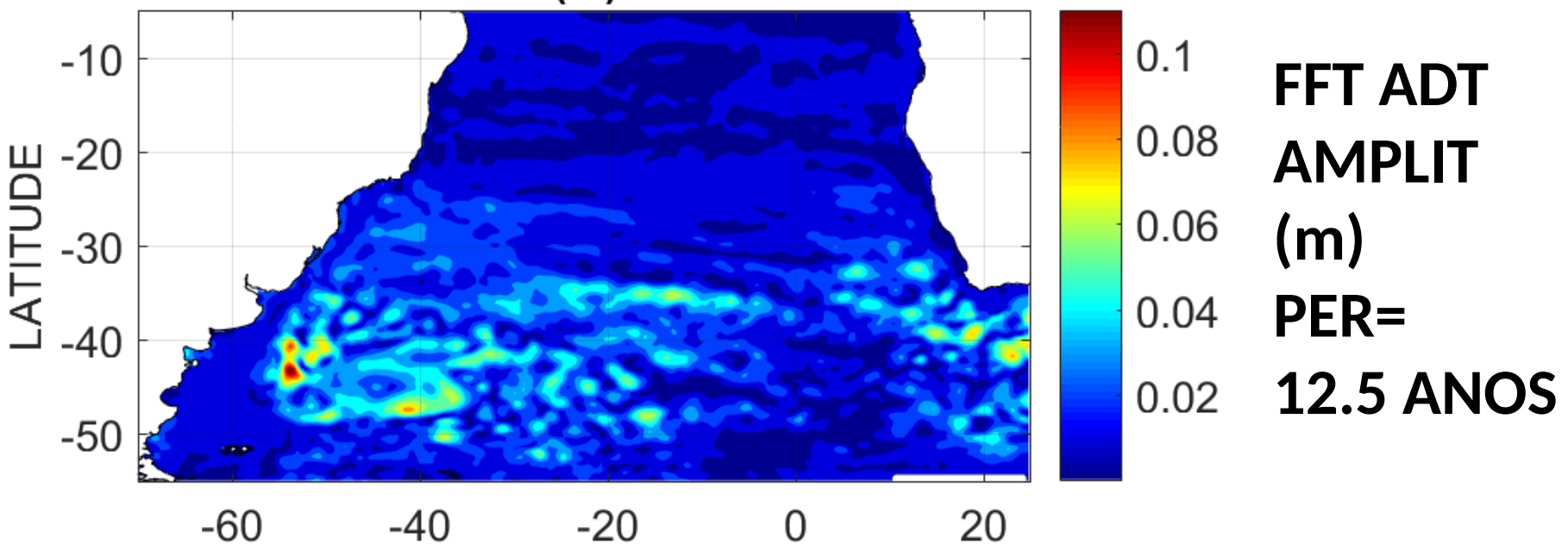


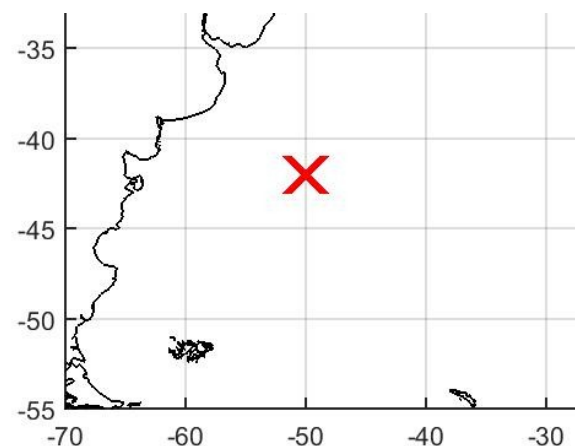
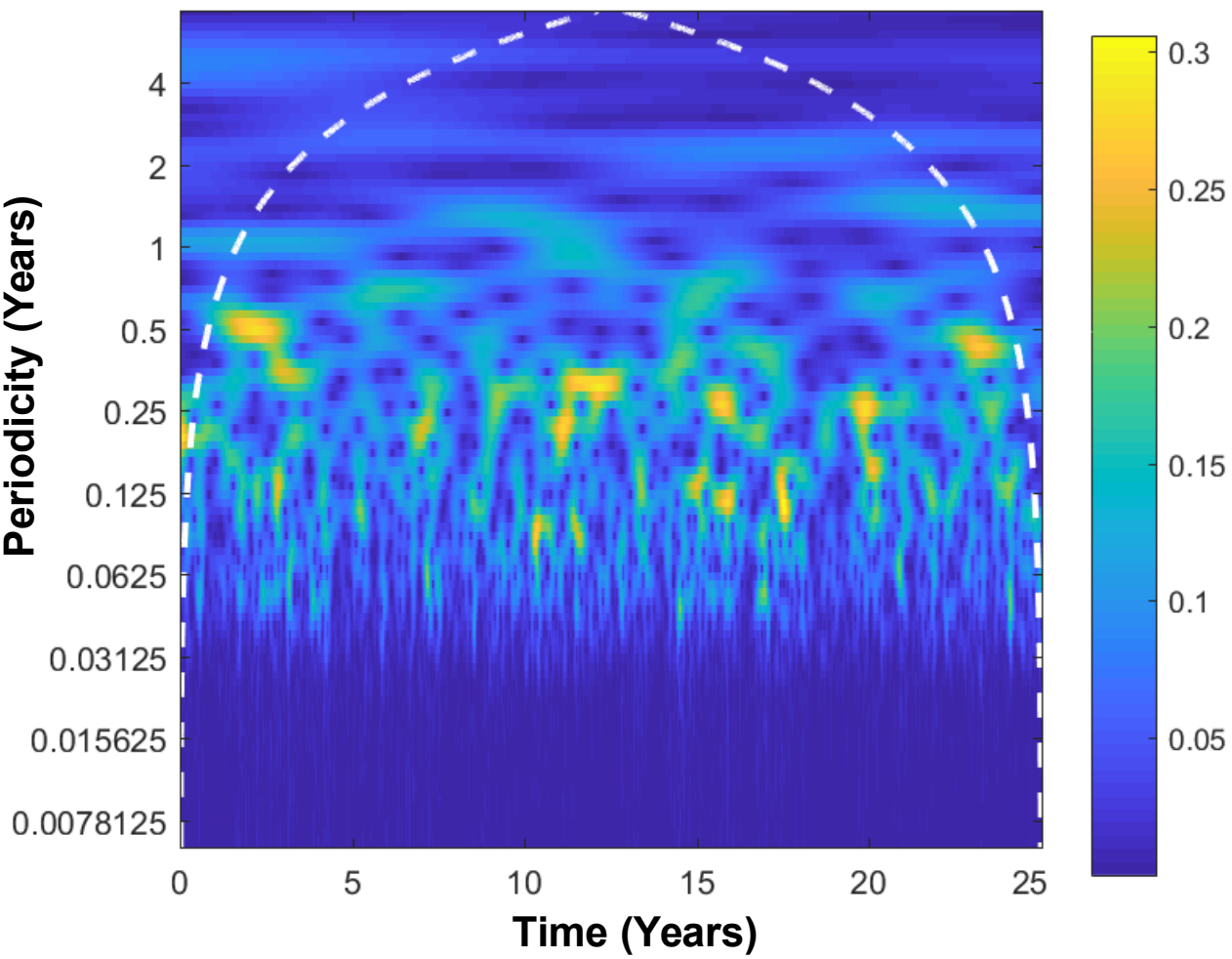
Table 3 – Energy density (integrated in the whole geographic area) associated with each periodicity obtained in the Fourier transform of sea level, temperature measurements.

| Periodicity (Years) | Energy (x 10 ⁴ J/m ²) |
|------------------------|---|
| 0.50 | 59.60 |
| 1.00 | 83.93 |
| 2.00 | 21.35 |
| 3.12 | 12.71 |
| 4.20 | 13.59 |
| 5.00 | 11.50 |
| 6.20 | 16.76 |
| 8.30 | 17.77 |
| 12.50 | 27.13 |

| Periodicity (years) | Relative energy |
|------------------------|--------------------|
| 0.50 | 10425.69 |
| 1.00 | 390681.16 |
| 2.00 | 1606.82 |
| 3.12 | 1474.81 |
| 4.20 | 1151.12 |
| 5.00 | 1288.59 |
| 6.20 | 1976.27 |
| 8.30 | 1778.41 |
| 12.50 | 2440.62 |

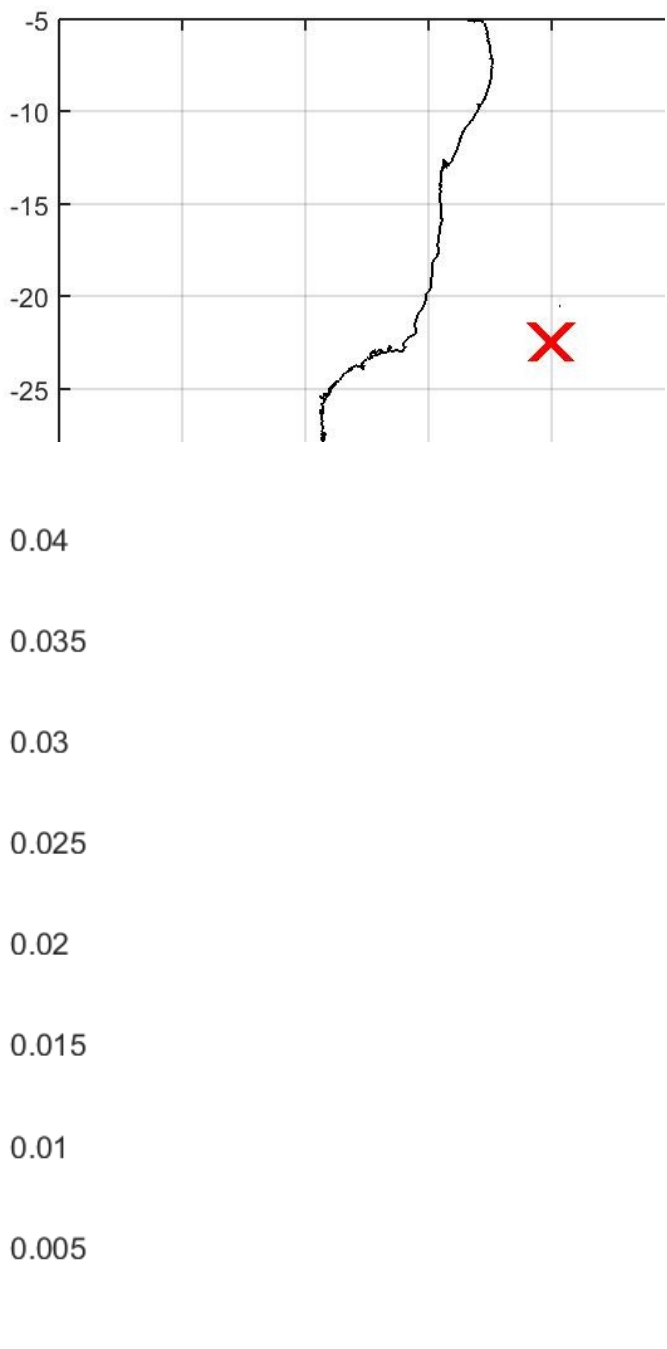
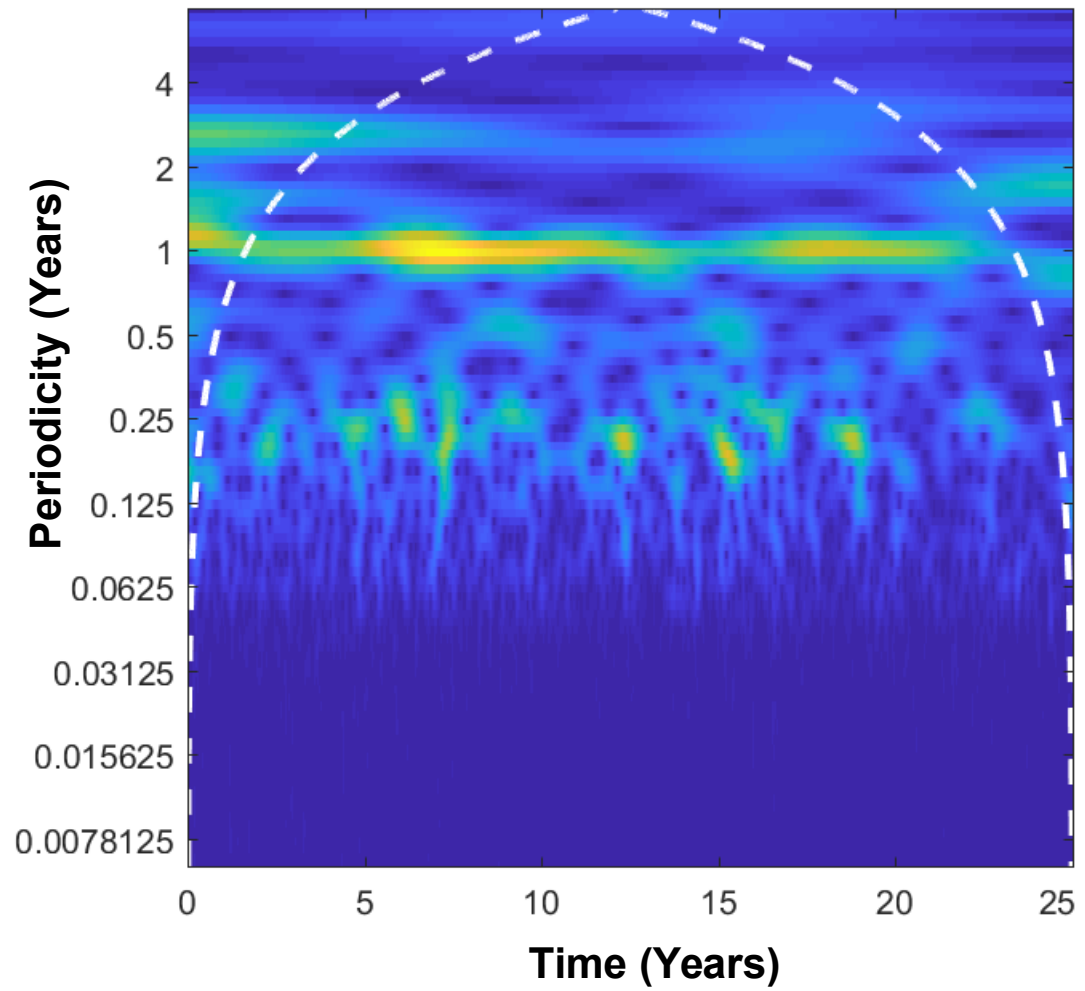
Wavelet Transform (m): Lat = 42° S ; Lon = 50° W

Periodicity (Years)

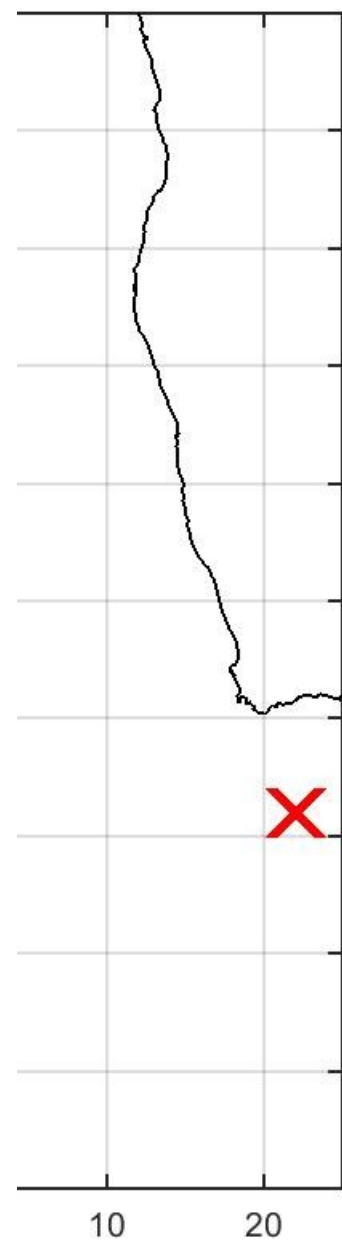
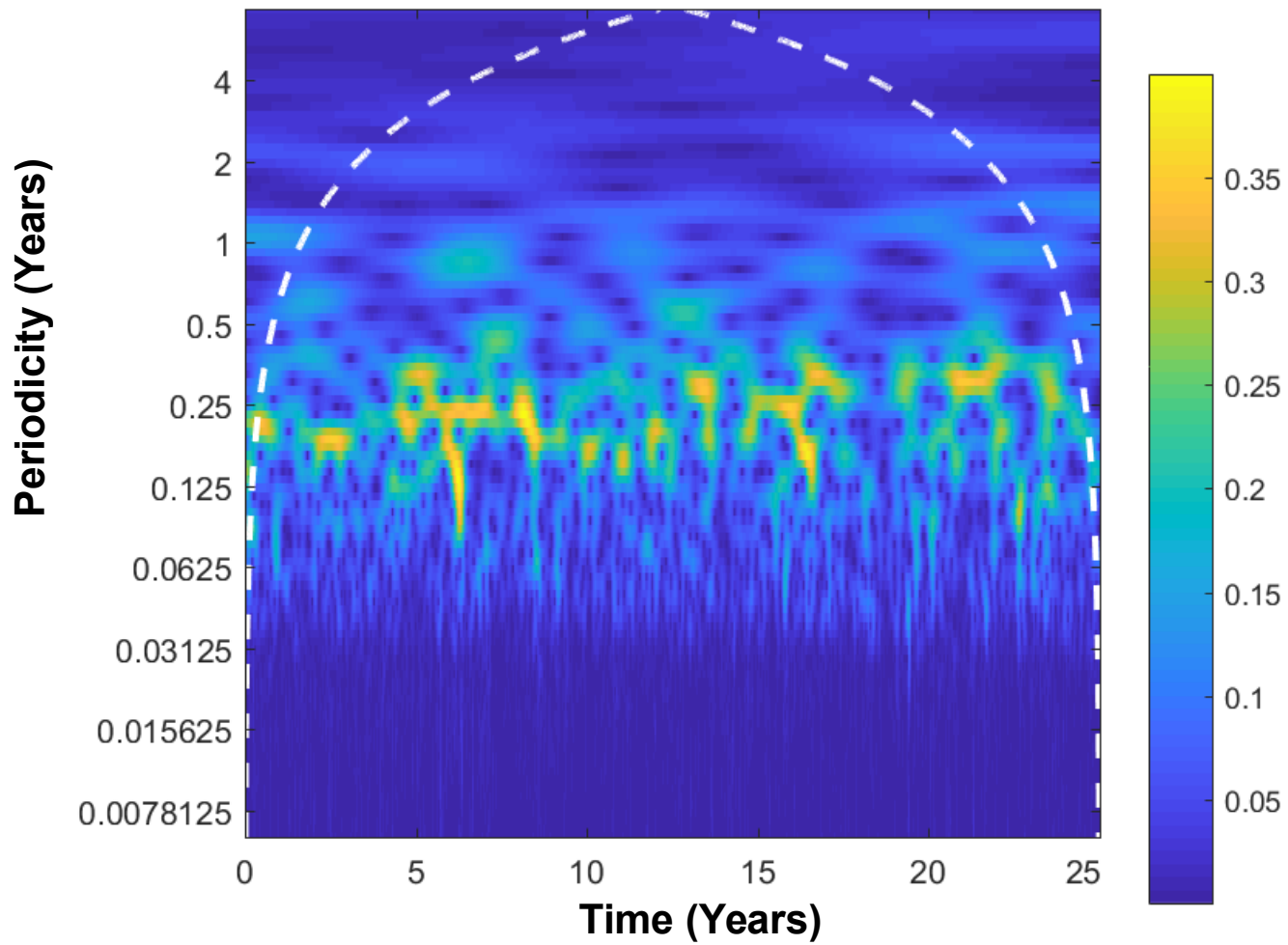


Wavelet Transform (m): Lat = 22.5°S ; Lon = 30°W

Periodicity (Years)

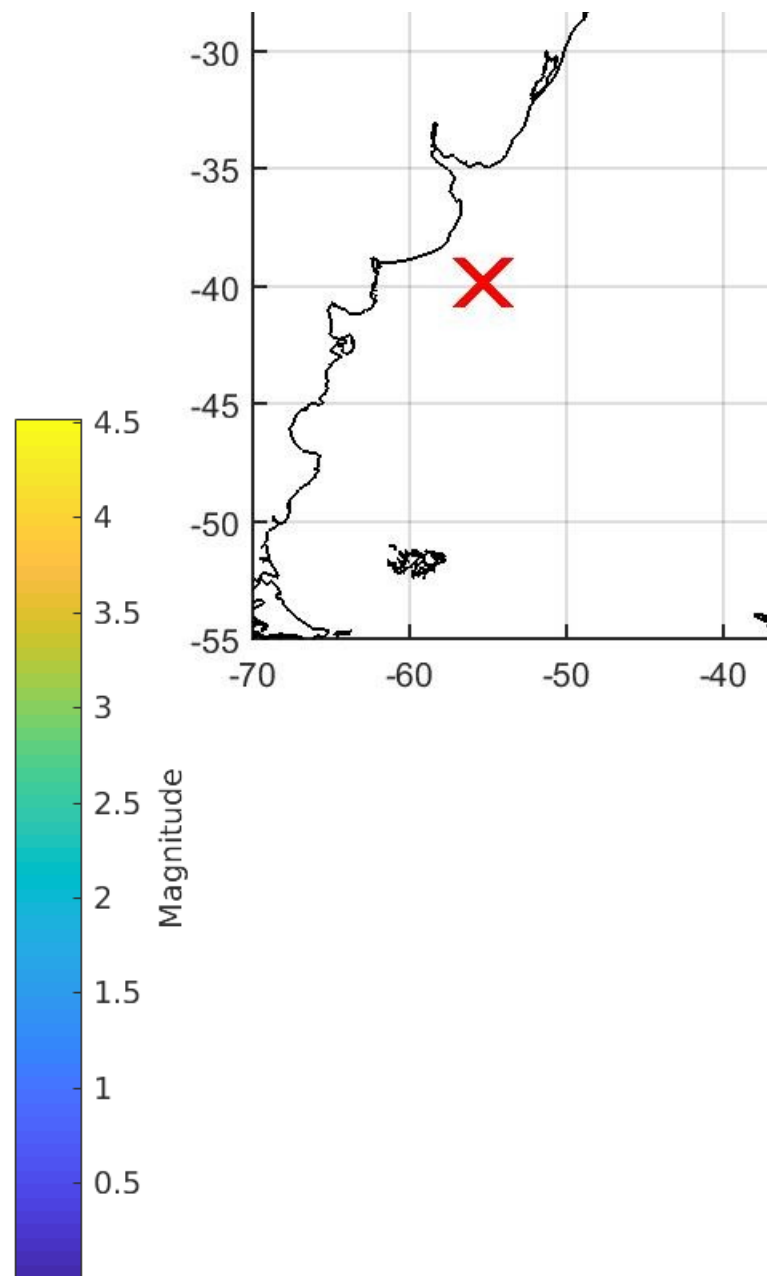
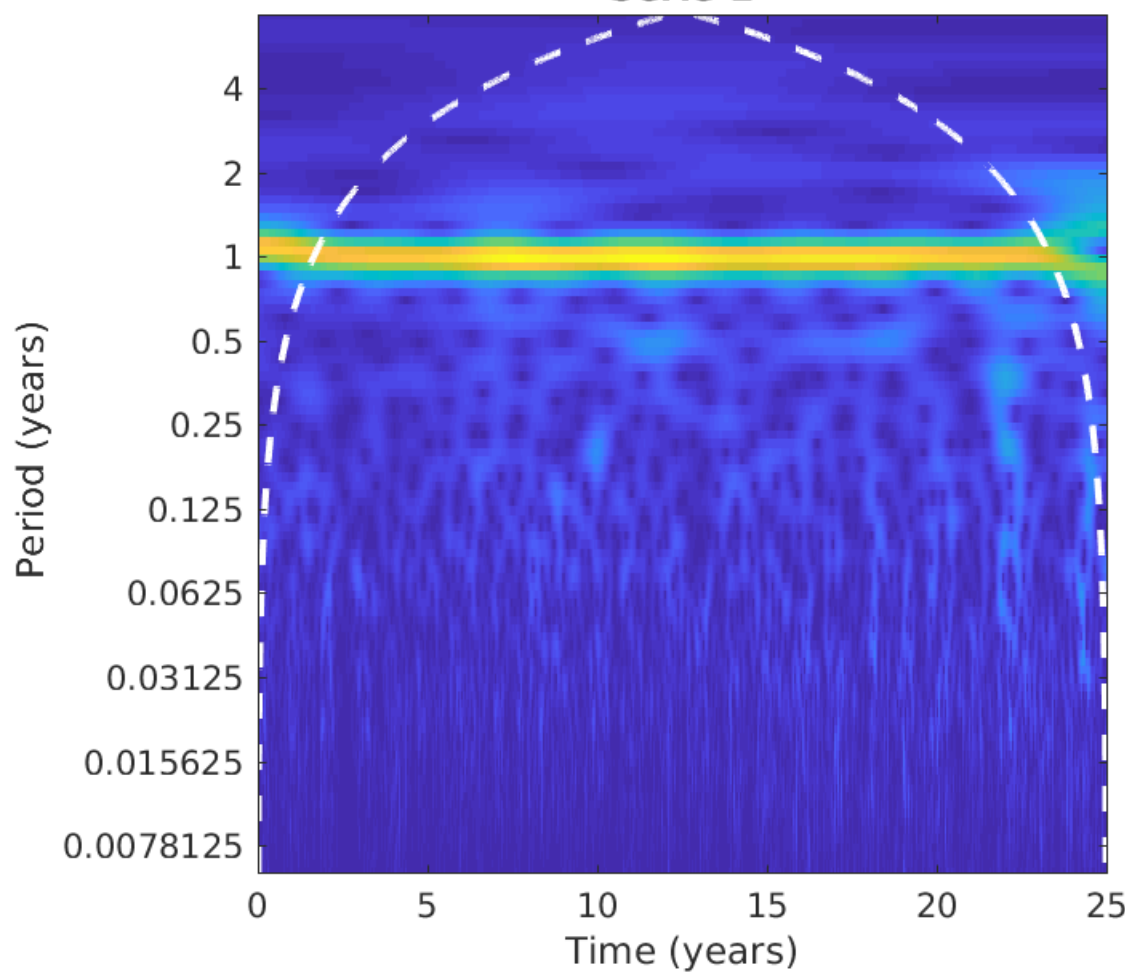


Wavelet Transform (m): Lat = 39° S ; Lon = 22° E



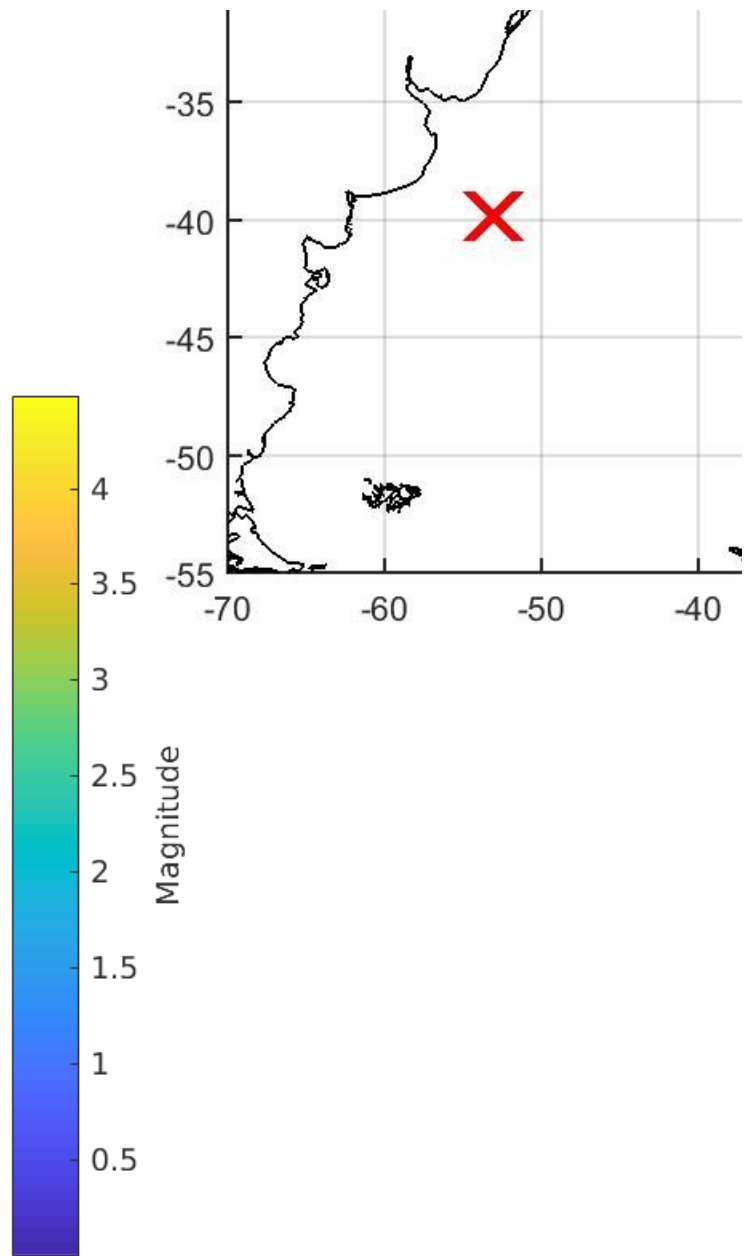
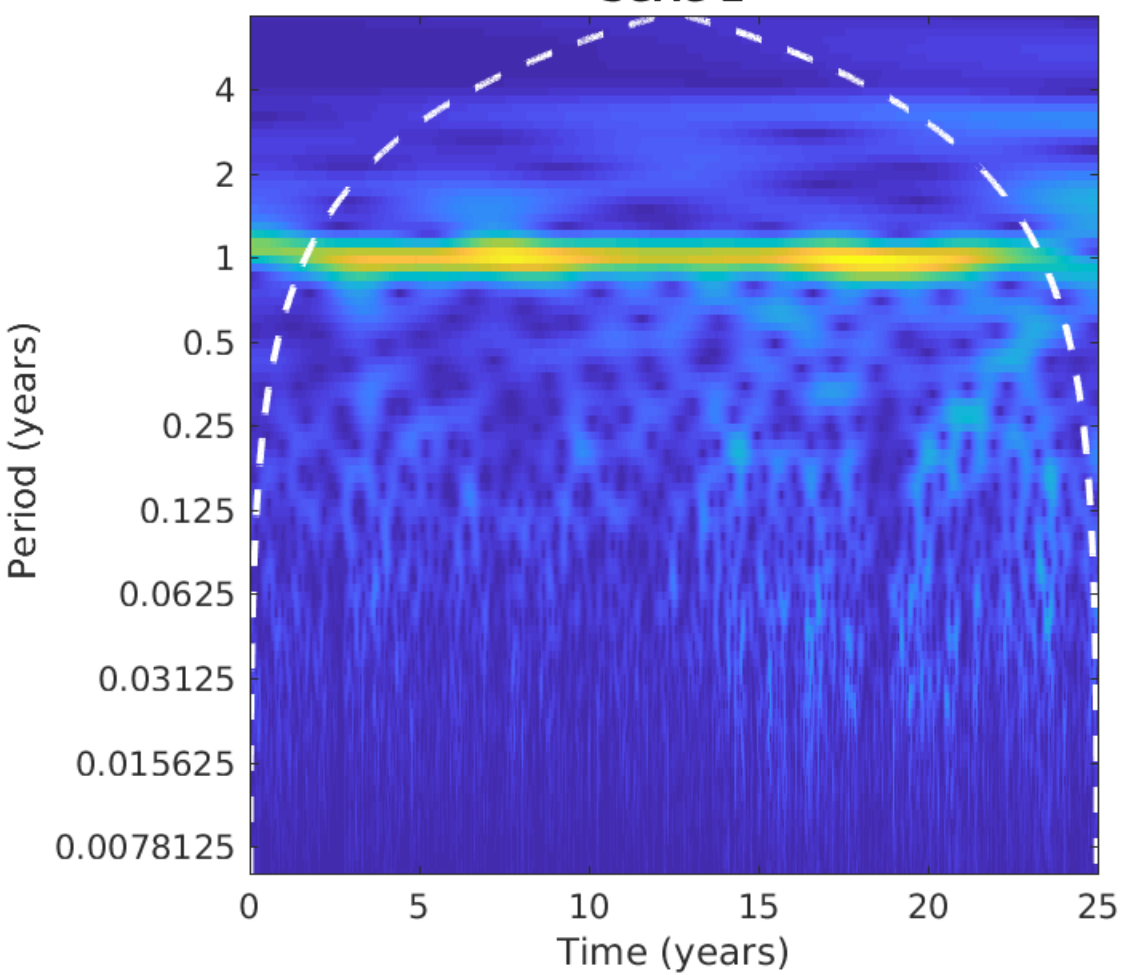
Wavelet (C)

39.8750 S 55.3750 W



Wavelet (C)

-39.8750 -53.1250



CONCLUSÕES

GRANDE VARIABILIDADE DE ADT E SST NAS LATITUDES MÉDIAS,
ESPECIALMENTE DE ADT

GRANDE VARIABILIDADE DE TENDÊNCIAS LINEARES DE ADT E SST
NAS LATITUDES MÉDIAS

NA REGIÃO DA CONFLUÊNCIA BRASIL – MALVINAS,
PONTOS VIZINHOS COM FORTES TENDÊNCIAS OPOSTAS DE ADT E SST

MENOS QUE 0.25% DA ÁREA TEM TENDÊNCIA DE DIMINUIÇÃO DE ADT
MAIS QUE 22% DA ÁREA POSSUI TENDÊNCIA DE DIMINUIÇÃO DE SST

ADT POSSUI COMPONENTES ANUAIS SIGNIFICATIVAS, MAS
SEMI-ANUAIS SÃO MAIS ENERGÉTICAS EM ALGUMAS REGIÕES

SST POSSUI COMPONENTES ANUAIS SIGNIFICATIVAS,
MAS NÃO SEMI-ANUAIS

COMPARAÇÃO MARÉGRAFOS X ALTIMETRIA

**MARÉGRAFOS: ALGUMAS SÉRIES MUITO LONGAS,
MAS PROBLEMAS COM DESCONTINUIDADES,
DATUM VERTICAL, DESLOCAMENTOS DA CROSTA
(MUITAS VEZES DESCONHECIDAS) E
COBERTURA NÃO HOMOGÊNEA.**

**ALTIMETRIA: NÍVEL DO MAR ABSOLUTO, COBERTURA
HOMOGÊNEA QUASE GLOBAL (EXCETO REGIÕES POLARES),
MAS INCERTEZAS NAS CORREÇÕES GEOFÍSICAS, ERROS NAS
MEDIÇÕES COSTEIRAS E SÉRIES RELATIVAMENTE CURTAS (25 ANOS).**

**EXPECTATIVA:
REGISTROS DE ALTIMETRIA MAIS LONGOS (60 ANOS) E
SWOT (SURFACE WATER AND OCEAN TOPOGRAPHY).**